

УДК 621.391

## **СТАТИСТИЧЕСКИЕ ХАРАКТЕРИСТИКИ СМЕСЕЙ НЕГАУССОВСКОГО РАДИОЛОКАЦИОННОГО СИГНАЛА И НЕГАУССОВСКОЙ ПОМЕХИ**

**А. В. Болдин, А. А. Бортников, Ю. А. Мурашкин, А. В. Хомяков**  
ОАО Центральное конструкторское бюро аппаратостроения, г. Тула

Получена 26 октября 2011 г.

**Аннотация.** Получены и исследованы вероятностные характеристики параметров негауссовских частично поляризованных сигналов при наличии негауссовской помехи. Получены оценки параметров моделей через физически измеряемые величины. Модели могут быть использованы для статистического описания сигналов, у которых флуктуации амплитуд имеют более глубокий характер, чем у релеевской модели.

**Ключевые слова:** статистические характеристики, радиолокационный сигнал, негауссовское распределение, периодически нестационарный сигнал.

**Abstract.** There have been obtained and researched probabilistic characteristics of non- Gaussian signal parameters in the presence of non- Gaussian disturbance. The models can be used for statistical description of signals with a deeper nature of amplitude fluctuation comparing to that of a Rayleigh model.

**Key words:** statistics, a radar signal, non – Gaussian distribution, a periodically non-stationary signal.

### **Введение**

При разработке радиолокационных систем обнаружения и измерения координат малоразмерных целей в условиях воздействия естественных и преднамеренных помех, необходимо знание вероятностных характеристик параметров (амплитудных, фазовых, поляризационных) смеси полезного сигнала и помехи. Известно достаточное количество работ, в которых приведены указанные характеристики, однако в качестве исходных распределений сигнала использованы модели Рэлея, Райса, Накагами,

справедливые лишь для ограниченного числа объектов наблюдения, секторов, углов наблюдения, среды распространения и типа подстилающей поверхности. а в качестве помехи – гауссовская помеха или варианты полигауссовских распределений [1-3].

Причинами отличия вероятностной модели сигнала от гауссовской могут служить: ограниченное число "блестящих" точек объекта наблюдения, принимающих участие в формировании отраженного сигнала (нарушение центральной предельной теоремы), искажение гауссовских сигналов под воздействием помех, нелинейные преобразования во входных цепях приемника. Накопленный к настоящему времени экспериментальный материал подтверждает негауссовский характер флуктуаций сигналов, отраженных от объектов. Так, например, в работах [4,5] показано, что коэффициент вариаций огибающей превышает величину 0,53, справедливую для релейской модели, практически у 70% обработанных реализаций, полученных для радиолокационных целей в миллиметровом диапазоне волн. Наиболее ярко это проявляется в коротковолновой части сантиметрового и миллиметровом диапазонах, при малых углах скольжения (менее  $5^{\circ}$ ), узкой диаграмме направленности антенны (ДНА)  $\theta_{0,5}$  от 15' до 1 град. и высокой разрешающей способности по дальности (длительности зондирующего импульса  $\tau_n \in (0,01 \div 0,33)$  мкс). Следовательно, при синтезе и анализе РЛС обнаружения и распознавания РЛО необходимо учитывать негауссовский характер флуктуаций отраженных сигналов, используя для описания их вероятностных характеристик достаточно общие модели, включающие как частные случаи наиболее используемые модели.

Целью работы является получение и исследование вероятностных характеристик параметров негауссовских частично поляризованных сигналов при наличии негауссовской помехи.

В соответствии с феноменологической моделью, полностью приведенной в [5,6], представим наземный объект в виде  $n$  отражающих групп блестящих

точек (БТ). Каждая из этих групп, в свою очередь, состоит из  $j$  БТ, одна из которых является доминирующей, то есть обладает большей отражающей способностью, чем каждая из  $(j - 1)$  оставшихся БТ. Считая, что сигналы, отраженные от  $k$ -тых групп являются узкополосными и не зависят от сигналов, отраженных от других групп, для плотности распределения вероятностей (ПРВ) огибающей сигнала на выходе детектора приемника будет справедливо соотношение

$$W(E_c) = \frac{(\beta_c E_c)^{\alpha_c}}{\gamma_c^{\alpha_c-1}} \exp\left[-\frac{1}{2}\left(\frac{\gamma_c^2}{\beta_c} + \beta_c E_c^2\right)\right] I_{\alpha_c-1}(\gamma_c E_c), E_c \geq 0, \quad (1)$$

В соответствии с рассмотренной феноменологической моделью отраженного негауссовского сигнала, можно дать следующую физическую интерпретацию  $\alpha_c$ ,  $\beta_c$  и  $\gamma_c$ . Параметр  $\alpha_c$ , учитывающий число отражающих групп лоцируемого объекта, характеризует глубину флуктуаций ортогонально поляризованных компонент негауссовского сигнала; параметр  $\gamma_c$  характеризует отношение детерминированной составляющей сигнала к его дисперсии, а параметр  $\beta_c$  - обратно пропорционален дисперсии.

Рассмотрим вероятностную модель помехи. Для этого, как и выше, используя феноменологический подход, полагаем, что суммарная помеха на входе приемника РТС формируется  $n$ -ым количеством источников помех, каждый из которых создает гауссовский помеховый сигнал с математическим ожиданием равным нулю. При этом квадратурные составляющие сигнала некоррелированы. Тогда, нетрудно показать, что одномерная плотность распределения вероятностей огибающей негауссовской помехи будет иметь вид

$$W(E_n) = \left(\frac{\beta_n}{2}\right)^{\alpha_n} \frac{2}{\Gamma(\alpha_n)} \exp\left(-\frac{\beta_n}{2} E_n^2\right), \quad (3)$$

На рис. 1 представлены семейства кривых ПРВ  $W(E_n)$ , построенных по формуле (3), при различных значениях параметров  $\alpha_n$  и  $\beta_n$ . Видно, что указанные параметры существенно влияют на форму кривых и на числовые характеристики огибающей  $E_n$ . Отметим, что для оценки параметров  $\alpha_n$  и  $\beta_n$

распределения (3) могут быть использованы выражения [5,6]

$$\hat{\alpha}_n = \frac{(\bar{E}_n^2)^2}{(E_n^2 - \bar{E}_n^2)^2}, \hat{\beta}_n = \frac{2\bar{E}_n^2}{(E_n^2 - \bar{E}_n^2)^2}, \quad (4)$$

Из (3) при  $\alpha_n = 1$  и  $\beta_n = 1/2 \sigma_n^2$  следует распределение Релея.

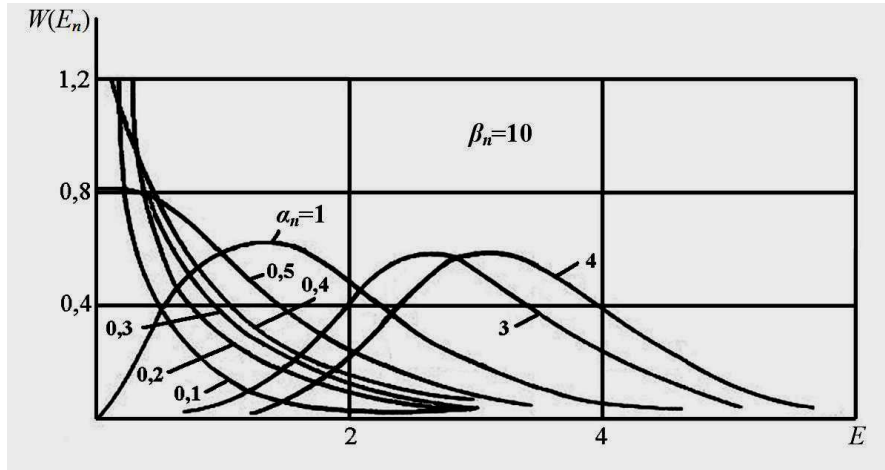


Рис. 1. Зависимости ПРВ  $W(E_n)$  от параметров  $\alpha_n$  и  $\beta_n$ .

Будем полагать, что огибающая полезного сигнала подчиняется распределению (1), а огибающая помехи - распределению (3). Как показано в [5,6], распределение (1) можно представить в виде обобщенной условной плотности распределения вероятностей огибающей  $E$  аддитивной смеси детерминированного сигнала и негауссовской помехи

$$W_{c+n}(E | E_c) = \frac{\beta_n E^{\alpha_n}}{E_c^{\alpha_n - 1}} \exp\left[-\frac{\beta_n}{2}(E_c^2 + E^2)\right] I_{\alpha_n - 1}(\beta_n E_c E), \quad (5)$$

где  $\alpha_n > 0$ ,  $\beta_n > 0$  - параметры помехи;  $E_c$  - огибающая сигнала.

При отсутствии сигнала  $E_c = 0$ , распределение (5) трансформируется в распределение негауссовской помехи (3).

Если сигнал флуктуирует, то безусловную ПРВ огибающей смеси сигнала и помехи можно определить по байесовскому правилу [7]:

$$W_{c+n}(E) = \int_0^{\infty} W_{c+n}(E | E_c) W(E_c) dE_c \quad (6)$$

Полагая, что огибающая негауссовского сигнала  $E_c$  описывается обобщенной

ПРВ (1) и подставляя в (6) выражения (5) и (1), а затем разложив функцию Бесселя  $I_{\alpha_{c-1}}(\gamma_C E_C)$  в ряд, после интегрирования получим искомую ПРВ:

$$W_{c+n}(E_c) = \frac{2}{\Gamma(\alpha_n)} \left(\frac{\beta_n}{2}\right)^{\alpha_n} \frac{E^{2\alpha_{n-1}}}{(1+C^{-1})^{\alpha_c}} \exp\left[-\frac{1}{2}\left(\frac{\gamma_c^2}{\beta_c} + \beta_n E^2\right)\right] \times \sum_{k=0}^{\infty} A_k {}_1F_1\left[\alpha_c + k, \alpha_n, \frac{\beta_n E^2}{2(1+C)}\right], \quad (7)$$

где  $C = \beta_c / \beta_n$ ,  $A_k = \frac{1}{k!} \left[\gamma_c^2 / 2\beta_c (1+C^{-1})\right]^k$

Из (7) следует, что ПРВ негауссового сигнала при наличии негауссовой помехи полностью определяется пятью параметрами  $\alpha_c$ ,  $\beta_c$ ,  $\gamma_c$  и  $\alpha_n, \beta_n$ . Первые три параметра характеризуют статистические свойства сигнала, последние два - помехи. При этом параметры,  $\alpha_i$ ,  $i = c, n$  характеризуют глубину флуктуаций, параметры  $\beta_i$  - величину, обратную дисперсиям сигнала и помехи, параметр  $\gamma_c = E_{C_0} / \sigma_c^2$ .

При отсутствии детерминированной амплитуды сигнала соотношение (7) упрощается

$$W_{c+n}(E, \gamma_c = 0) = \frac{2}{\Gamma(\alpha_n)} \left(\frac{\beta_n}{2}\right)^{\alpha_n} \frac{E^{2\alpha_{n-1}}}{(1+C^{-1})^{\alpha_c}} \exp\left(-\frac{\beta_n}{2} E^2\right) \times {}_1F_1\left[\alpha_c, \alpha_n, \frac{\beta_n E^2}{2(1+C)}\right]. \quad (8)$$

Используя асимптотическое разложение вырожденной гипергеометрической функции, нетрудно показать, что при дисперсии помехи  $(\sigma_n^2 \rightarrow 0, \beta_n \rightarrow \infty)$  выражения (7) и (8) переходят соответственно в (3) и (1).

На рис. 2 (а,б) представлены семейства кривых ПРВ (7) и (8) соответственно при некоторых значениях параметров  $\alpha_n, \alpha_c, \beta_n, \beta_c, \gamma_c$  и  $C$ . Из рисунков следует, что изменение указанных параметров приводит к трансформации ПРВ огибающей смеси сигнала и негауссовой помехи.

Для определения  $\nu$ -х начальных моментов

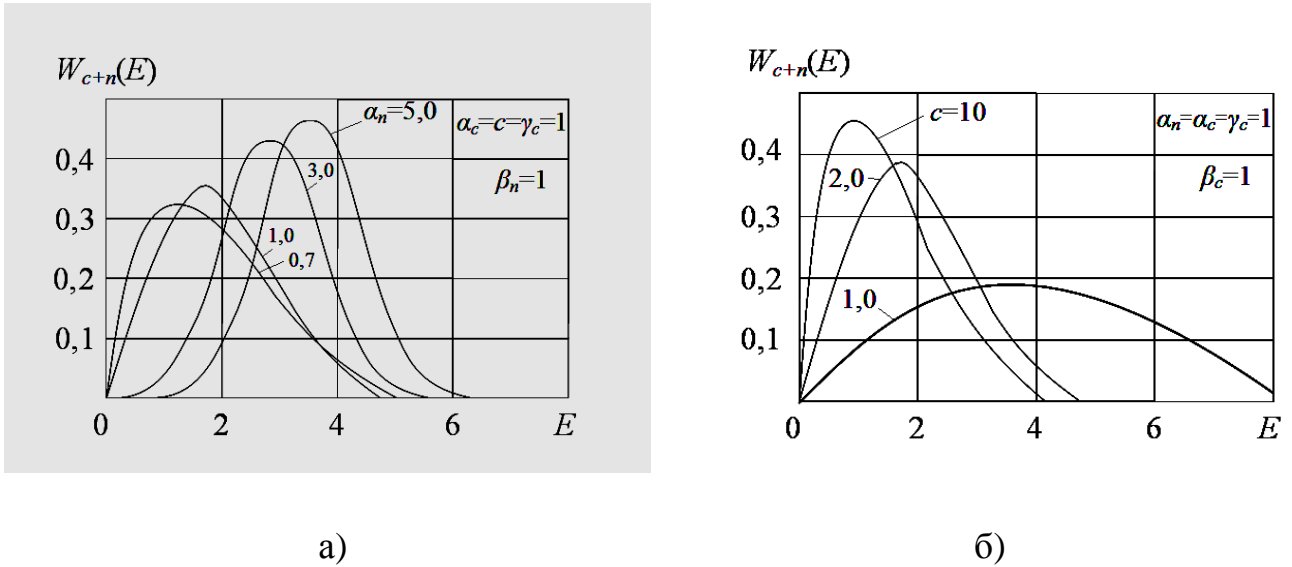


Рис. 2. Плотность распределения вероятностей  $W_{c+n}(E)$  при некоторых значениях параметров  $\alpha_n, \alpha_c, \beta_n, \beta_c, \gamma_c$  и  $C$ .

$$m_{c+n}^\nu = \int_0^\infty E^\nu W_{c+n}(E) dE \quad (9)$$

подставим (7) в (9) и перейдем к новой переменной  $Z = E^2$ . Используя при интегрировании преобразование Меллина [8], получим

$$m_{c+n}^\nu = \frac{\Gamma(\nu/2 + \alpha_n)}{\Gamma(\alpha_n)} \left(\frac{2}{\beta_n}\right)^{\nu/2} \frac{\exp(-\gamma_c^2/2\beta_c)}{(1+C^{-1})^{\alpha_C}} \times \sum_{k=0}^\infty A_k {}_2F_1\left[\alpha_c + k, \frac{\nu}{2} + \alpha_n, \alpha_n, (1+C)^{-1}\right] \quad (10)$$

Интегральную функцию распределения смеси сигнала и помехи

$$F_{c+n}(E) = \int_0^\infty W_{c+n}(E) dE$$

можно определить, разложив функцию  ${}_1F_1(\cdot)$  из (7) в

ряд, а затем проинтегрировав по переменной  $E$ .

В результате будем иметь

$$F_{c+n}(E) = (\beta_n/2)^{\alpha_n} E^{2\alpha_n} (1+C^{-1})^{-\alpha_C} \exp\left(-\frac{\gamma_c^2}{2\beta_c} - \frac{\beta_n}{2} E^2\right) \times \sum_{k,n=0}^\infty A_k A_n \frac{\Gamma(\alpha_c + k + n)}{\Gamma(\alpha_c + k)} {}_1F_1\left(1, \alpha_n + n + 1, \frac{\beta_n}{2} E^2\right) \quad (11)$$

где 
$$A_n = \beta_n^n E^{2n} / \left[ n! \Gamma(\alpha_n + n + 1) (1 + C)^n 2^n \right].$$

Для получения частных случаев достаточно в (7), (10) и (11) подставить те или иные значения параметров  $\alpha_i$ ,  $\beta_i$  и  $\gamma_c$ . Частные случаи представлены в табл. 1. Некоторые из них получены ранее в работах [5,6,9].

При выводе обобщенной вероятностной модели (3) было сделано предположение о независимости квадратурных составляющих  $x$ ,  $y$  отраженного сигнала. При рассмотрении более общего случая, когда квадратурные составляющие коррелированы между собой с коэффициентом корреляции  $\rho$  и имеют разные дисперсии  $\sigma_x^2 \neq \sigma_y^2$ , по приведенной выше методике получены основные характеристики для аддитивной смеси периодически нестационарного сигнала и помехи, подчиненной распределению (3). Исходным распределением для этого является также обобщенная условная ПРВ (5). После ряда преобразований получим

$$W_{c+n}(E) = \frac{2\sqrt{\pi}}{2^{\alpha_c-1}} \left( \frac{\beta_n}{2} \right)^{\alpha_n} \frac{E^{2\alpha_n-1} \exp(-\beta_n / 2E^2)}{\Gamma(\alpha_c / 2) \Gamma(\alpha_n) D^{\alpha_c}} \sum_{k=0}^{\infty} B_k \times$$

$$\times {}_1F_1 \left[ \alpha_c + 2k, \alpha_n, \frac{\beta_n E^2}{2(1 + 2C / A^2)} \right] \quad (12)$$

где 
$$D = (C^{-1} + 2 / A^2) / 2;$$

$$B_k = \Gamma(\alpha_n + 2k) [A_\alpha / A^2 (C^{-1} + 2 / A^2)]^{2k} / k! \Gamma(\alpha_c / 2 + k + 0,5);$$

$$A_\alpha = [\alpha_H^2 + \rho^2 (1 - \alpha_H^2)]^{1/2}; \quad \alpha_H = (\sigma_x^2 - \sigma_y^2) / (\sigma_x^2 + \sigma_y^2);$$

$$A = [(1 - \rho^2)(1 - \alpha_H^2)]^{1/2}; \quad C = \beta_c / \beta_n.$$

Отсюда нетрудно определить интегральную функцию распределения  $F_{c+n}(E)$  и начальные моменты  $m_{c+n}^y$  соответственно.

В качестве заключения к разделу можно сделать следующие выводы.

1. Феноменологический подход при синтезе моделей сигналов,

отраженных от объектов приводит к двум видам обобщенных негауссовых моделей: обобщенной негауссовой модели стационарных сигналов и обобщенной негауссовой модели периодически нестационарных сигналов. Первая модель не учитывает корреляции между квадратурными составляющими сигнала и включает, как частные случаи, другие модели (Рэля, Райса, Хойта, Накагами, однодоминатное плюс релеевское распределение, распределение Максвелла-Больцмана, одностороннее нормальное распределение). Вторая модель учитывает корреляцию квадратурных составляющих и включает, как частные случаи, модели: Рэля, Накагами, Хойта,  $\rho$ -распределение, гауссовое периодически-нестационарное распределение.

2. Анализ синтезированных вероятностей моделей и статистических характеристик огибающей, полученных на основе ПРВ  $W(E)$ , показывает, что эти модели могут быть использованы для статистического описания сигналов, у которых флуктуации амплитуд имеют более глубокий характер, чем у релеевской модели.

3. Получены оценки параметров моделей через физически измеряемые величины и показано, что эти параметры связаны с глубиной флуктуаций отраженного сигнала (параметр  $\alpha_C$ ), средней мощностью сигнала (параметры  $\beta_C$  или  $\Omega$ ), стабильной составляющей цели (параметр  $\mu$ ) и нестационарностью сигнала (параметр  $\beta_n$ ).

4. Наличие мощных мешающих отражений при решении задач обнаружения и пеленгации целей, а также вероятность наличия организованных помех, приводит к необходимости их учета на этапе проектирования РЛС. Для этого получены вероятностные модели для смесей негауссовых сигналов и помех и исследованы их характеристики. Полученные выражения обобщают многочисленные частные случаи, имеющие место на практике и в теории синтеза РЛС.



Таблица 1. Частные случаи статистических характеристик смеси негауссовских сигналов и помех

Параметры					$W_{c+n}(E)$	$m_{c+n}^v$
$\alpha_c$	$\beta_c$	$\gamma_c$	$\alpha_n$	$\beta_n$		
1	$\frac{1}{\sigma_c^2}$	0	$m_n$	$\frac{2m_n}{\Omega_n}$	$\frac{2}{\Gamma(m_n)} \left(\frac{m_n}{\Omega_n}\right)^{m_n} \frac{E^{2m_n-1}}{(1+C_1^{-1})} \exp\left(-\frac{m_n}{\Omega_n} E\right) \times$ $\times F_1\left[1, m_n, m_n E^2 / [\Omega_n (1+C_1)]\right]$	$\frac{\Gamma\left(\frac{\nu}{2} + m_n\right)}{\Gamma(m_n)} \left(\frac{\Omega_n}{m_n}\right)^{\frac{\nu}{2}} \frac{{}_2F_1\left[1, \frac{\nu}{2} + m_n, 1, \frac{1}{1+C_1}\right]}{(1+C_1^{-1})}$
$m_c$	$\frac{2m_c}{\Omega_c}$	0	$m_n$	$\frac{2m_n}{\Omega_n}$	$\frac{2}{\Gamma(m_n)} \left(\frac{m_n}{\Omega_n}\right)^{m_n} \frac{E^{2m_n-1}}{(1+C_1^{-1})} \exp\left(-\frac{m_n}{\Omega_n} E\right) F_1[m_c, m_n;$ $E^2 / [\Omega_n (1+C_2)] \frac{\Omega_n}{m_n} (1+C_2^{-1})^{-m_c}, C_2 = \frac{m_c \Omega_n}{m_n \Omega_c}$	$\frac{\Gamma\left(\frac{\nu}{2} + m_n\right)}{\Gamma(m_n)} \left(\frac{\Omega_n}{m_n}\right)^{\frac{\nu}{2}} \frac{{}_2F_1\left[m_c, \frac{\nu}{2} + m_n, 1, m_n \frac{1}{1+C_2}\right]}{(1+C_2^{-1})^{m_c}}$
$\alpha_c$	$\beta_c$	$\gamma_c$	1	$\frac{1}{\sigma_n^2}$	$\frac{E}{\sigma_n^2 (1+C)^{\alpha_c}} \exp\left(-\frac{\gamma_c^2}{2\beta_c^2} - \frac{E^2}{2\sigma_n^2}\right) \sum_{k=0}^{\infty} A_k F_1[\alpha_c + k, 1$ $\frac{E^2}{2\sigma_n^2 (1+C^{-1})}]$	$\frac{(2\sigma_n^2)^{\frac{\nu}{2}} \Gamma\left(\frac{\nu}{2} + 1\right)}{(1+C)^{\alpha_c}} \exp\left(-\frac{\gamma_c^2}{2\beta_c^2}\right) \sum_{k=0}^{\infty} A_k$ $\times {}_2F_1\left[\alpha_c + k, \frac{\nu}{2} + 1; 1; 1 / (1+C^{-1})\right]$
1	$\frac{1}{\sigma_c^2}$	0	1	$\frac{1}{\sigma_n^2}$	$\frac{E}{\sigma_n^2 (1+\sigma_c^2/\sigma_n^2)} \exp\left[-\frac{E^2}{2\sigma_n^2 (1+\sigma_c^2/\sigma_n^2)}\right]$	$\Gamma\left(\frac{\nu}{2} + 1\right) \left[2\sigma_n^2 (1+\sigma_c^2/\sigma_n^2)\right]^{\nu/2}$
$m_c$	$\frac{2m_c}{\Omega_c}$	0	1	$\frac{1}{\sigma_n^2}$	$\frac{E \exp(-E^2/2\sigma_n^2)}{\sigma_n^2 \left(1 + \frac{\Omega_c}{2m_c \sigma_n^2}\right)^{m_c}} {}_1F_1\left[m_c, 1; \frac{E^2}{1 + 2m_c \sigma_n^2 / \Omega_c} \times$ $\times 2\sigma_n^2\right]$	$\Gamma\left(\frac{\nu}{2} + 1\right) (2\sigma_n^2)^{\frac{\nu}{2}} {}_2F_1\left[m_c; \frac{\nu}{2} + 1; (1 + 2m_c \sigma_n^2 / \Omega_c)^{-1}\right]$

## Литература

1. Быстров Р.П., Засовин Э.А. Потапов А.А., Соколов А.В. и др. Радиолокационные системы: научно-технические достижения и проблемы развития техники миллиметрового диапазона радиоволн // Зарубежная радиоэлектроника. Успехи современной радиоэлектроники. 2001. № 4 (ч. 1–3) и № 5 (ч. 4, 5).
2. Островитянов Р.В., Басалов Ф.А. Статистическая теория радиолокации протяженных целей. М.: Радио и связь. 1982. - 232 с.
3. Костылев В.И., Сличенко М.П. Адаптивное энергетическое обнаружение квазидетерминированных радиосигналов на фоне негауссовского шума// Радиотехника и электроника. Том 56. №6. 2011. - с. 698-704.
4. Быстров Р.П., Дмитриев В.Г., Потапов А. А., Соколов А.В. Проблемы радиолокационного обнаружения, малоконтрастных объектов. Монография "Вопросы перспективной радиолокации". Под ред. А.В.Соколова. //М.: Радиотехника. 2003. - с.2-48.
5. Акиншин Н.С., Быстров Р.П., Румянцев В.Л., Соколов А.В. Миллиметровая радиолокация: методы обнаружения негауссовских сигналов, Под ред.Р.П. Быстрова. // М: Радиотехника. 2010. - 528 с.
6. Мелитицкий В.А., Акиншин Н.С., Михайлов А.В., Румянцев В.Л. Оценка параметров распределения мощности негауссовского сигнала. // М.: «Радиотехника и электроника» . 1984. №4. - с.797-800.
7. Тихонов В.И. Статистическая радиотехника. // М.: Радио и связь. 1982. - 623 с.
8. Прудников А.П., Брычков Ю.А., Маричев О.И. Интегралы и ряды. //М.: Наука. 1981. 797 с.
9. Акиншин Н.С., Румянцев В.Л., Процюк С.В. Поляризационная селекция и распознавание радиолокационных сигналов. //Тула: Лидар. 2000. - 316 с.